

面向视觉导航的认知构图与规划

方桂安^{*}, 王涛老师[†]

中山大学 智能科学与技术 20354027

【摘要】 本次实验的目的是构建一个单或多智能体的认知导航、认知规划、认知控制仿真算例，故我在PapersWithCode与 WebOfScience 上查阅了诸多文献。从中选择了这个方向并基于课堂所学认知智能知识点对该论文^[1]进行了试验和复现。在这过程中，我深入了解了认知智能的概念，并且在实验中体会到前沿科研方向的研究。

【关键词】 视觉导航，认知图谱，映射，规划，神经架构

1 引言

这篇论文介绍了一种机器人在未知环境中导航的神经（网络）架构，该架构可以学习如何从第一人称视角进行构图，并生成一组动作序列（使机器人）到达环境中的某个目标处。其中提出的认知构图与规划器（CMP）主要基于两个关键思想：

- 将场景构图和行为规划组合在一个统一的架构下，使得场景构图可以根据规划器的需求来驱动；
- 一个可以在关于世界的观察集合不完整时能够进行规划的空间记忆。

CMP 能构建一个自上而下的关于世界的可信度地图 (belief map) 并应用一个可微神经网络规划器来在每一个时间步骤产生下一个动作。这种关于世界的积累的可信度使得该智能体 (agent) 能够跟踪其环境中已经访问过的区域。通过实验表明该 CMP 的表现超过了反应策略 (reactive strategies) 和标准的基于记忆的架构，并且可以在全新的环境中获得良好的表现。此外，结果还表明 CMP 也能够实现特定语义的目标，比如「go to a chair」(走到椅子那里)。

2 背景

作为人类，当我们在陌生的环境导航时，我们会将先前相似的环境的经验带入到该环境中。我们推理自由空间，障碍和环境的拓扑结构，以常识规则和启发式导航为指导。例如，从一个房间到另一个房间，我们必须先退出最初的房间；去大楼另一端的房间，走进走廊比进入会议室更容易成功；厨房更可能位于建筑物的开放区域而不是房间中间。本文的目标是设计一个获取这种专业知识的学习框架，并在新环境中展示机器人导航问题。

受到这种推理的启发，已经有很多研究人员开始关注更多的端到端的基于学习的方法，这些方法直接从像素到动作，而无需通过显式的模型或状态估计步骤。这些方法因此享有能够从经验中学习行为的优点。但是，有必要仔细设计可以捕捉任务结构的体系结构。例如使用 reactive memory-less vanilla feed forward architectures (反应式无记忆的简单前馈神经网络) 来解决视觉导航问题。相反，有学者实验已经表明，即使智能体在它们导航的时候以“认知地图”的形式建立了复杂的空间表征，反应式智能体依然无法做到快捷推理。

这激发了作者解决视觉导航的认知构图和规划的 (CMP) 方法的产生。CMP 是由一种空间记忆来捕获全局的布局，以及可以规划给定的部分信息路径规划器。建图器和规划器被整合到一个统一的架构中，可以通过利用全局的规律来训练。该建图器融合了智能体观察到的输入视图中的信息，从而以自顶向下的视角产生关于世界的以度

实验时间: 2022 年 4 月 16 日

报告时间: 2022 年 4 月 24 日

[†] 指导教师

*学号: 20354027

*E-mail: fanggan@mail2.sysu.edu.cn

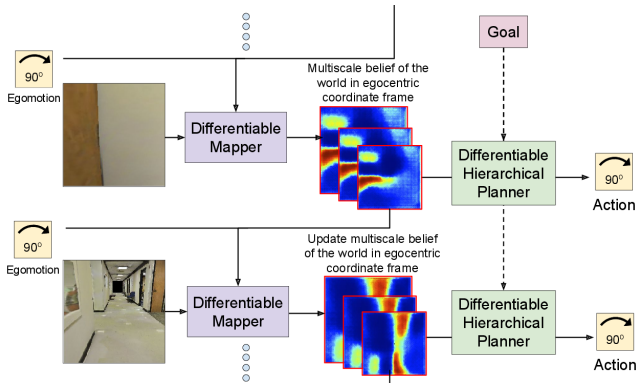


图 1 Overall network architecture

量为中心的多尺度置信度。规划器运用这种多层次的以世界为中心的自我中心的置信度来规划到达特定目标的路径并输出最佳的行动。这个过程在每个时间步骤重复，以使智能体接近目标。

在每个时间步骤，智能体从前一个时间步骤更新全局的置信度 (the belief of the world)：

1. 使用自我运动将置信度从前一个时间步骤转换到当前的坐标系；
2. 结合来自当前全局视野的信息更新置信度。

这使得智能体随着自身移动可以逐步改善全局的模式。与之前的工作形成鲜明对比的是，该方法是端到端的训练，在全局上采取良好的行动。为此，我把这个问题作为一个学习问题进行分析，而不是单纯地计算置信度的更新（通过经典的运动结构），并根据观察到的第一人称视角训练卷积神经网络来预测更新。我们使置信度转换和更新操作具有可区分性，从而实现端到端的培训。这使得该方法能够适应实际室内场景中的统计模式，而不需要对绘图阶段进行任何明确的监督。

这个方法是让人联想到经典的导航工作，也涉及到建立地图，然后在这些地图中规划路径，以达到预期的目标位置。然而，该方法与传统工作不同之处在于以下重要方面：除了维护度量置信度的架构选择之外，其他一切都是从数据中学习的。这导致了一些非常理想的特性：

1. 模型可以以任务驱动的方式学习室内环境的统计规律；
2. 联合训练建图器和规划器使得规划器对建图器的错误更加稳健；

3. 模型可以在新的环境中以在线方式使用，而不需要预先构建的地图。

3 介绍

3.1 问题陈述

为了研究新环境中的视觉导航问题。作者团队研究几何任务（其中任务是根据相对于机器人当前位置的偏移量来指定的）和语义任务（其中任务是根据到达特定对象类别来指定的）。

3.2 方法

学习的导航网络由映射器和规划器模块组成。映射器写入对应于以自我为中心的环境地图的内在存储器，而规划器使用该存储器输出导航动作。地图没有明确监督，而是从学习过程中自然出现。

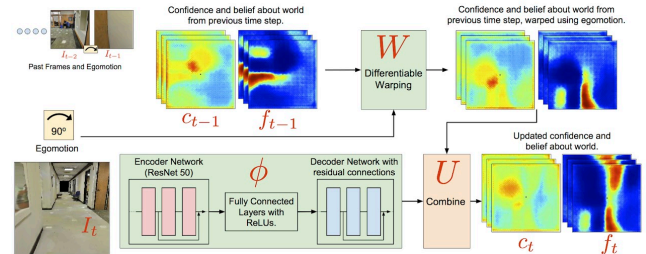


图 2 Architecture of the mapper

映射器模块处理来自机器人的第一人称图像，并将观察结果整合到内在记忆中，这对应于环境顶视图的以自我为中心的地图。映射操作不受明确监督——映射器可以自由地将任何对规划器最有用的信息写入内存。除了填充障碍物外，映射器还在地图中存储置信度值，这允许它通过利用学习模式对地图中未观察到的部分进行概率预测。

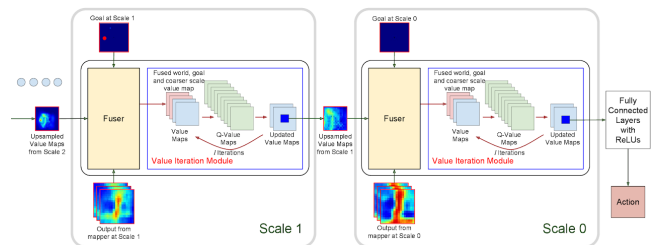


图 3 Architecture of the hierarchical planner

分层规划器采用映射器输出的以自我为中心的多尺度置信度，并使用表示为卷积和通道最大池化的值迭代来输出策略。规划器是可训练和可微的，并将梯度反向传播到映射器。规划器在问题

的多个尺度（尺度 0 是最好的尺度）上运行，从而提高规划效率。

3.3 结果

实验是在由真实世界 3D 扫描组成的静态模拟环境中进行的。其中报告了在保留的新颖测试环境中的性能。作者报告了所提出的方法 (CMP) 到目标的平均距离、到目标的第 75 个百分位距离和成功率，以及反应基线和基于 LSTM 的基线。第一个表格显示几何任务的结果，第二个表格显示语义任务的结果（转到“椅子”、“门”或“桌子”）。

Methods	RGB Input			Depth Input		
	Mean Distance	75th %ile Distance	Success Rate (in %)	Mean Distance	75th %ile Distance	Success Rate (in %)
Initial	25.3	30	0.7	25.3	30	0.7
No Image	20.8	28	0.7	20.8	28	0.7
Reactive 4	14.4	25	30.4	8.8	18	56.9
LSTM	10.3	21	53	5.9	5	71.8
Our(CMP)	7.7	14	62.5	4.8	1	78.3

Methods	RGB Input			Depth Input		
	Mean Distance	75th %ile Distance	Success Rate (%)	Mean Distance	75th %ile Distance	Success Rate (%)
Initial	16.2	25	11.3	16.2	25	11.3
Reactive (4)	14.2	22	23.4	14.2	23	22.3
LSTM	13.5	20	23.5	13.4	23	27.2
Our(CMP)	11.3	18	34.2	11.0	19	40.0

4 实验复现

4.1 环境准备

所有的代码都是用 Python 实现的，但依赖于少量的 Python 包和几个 C 库。

```

1 # 使用virtualenv来创建虚拟环境
2 VENV_DIR=venv
3 pip install virtualenv
4 virtualenv $VENV_DIR
5 source $VENV_DIR/ bin/activate
6
7 # 更新pip, 并安装所需的包
8 pip install --upgrade pip
9 # Install simple dependencies.
10 pip install -r requirements.txt
11
12 # 打上补丁
13 sh patches/apply_patches.sh

```

架构的训练用到了残差网络 ResNet，它是一个深度学习模型，基于 tensorflow- 1.x 版本实现，

不兼容 tensorflow-2.x 版本。故我使用以下命令安装

```

1 # cpu版本
2 pip install tensorflow-cpu==1.15.0
3 # gpu版本
4 pip install tensorflow-gpu==1.15.0

```

实验使用了 Swiftshader，一个基于 CPU 的渲染器来渲染网格。也可以使用其他渲染器。将 ‘render/swiftshader_renderer.py’ 中的 ‘SwiftshaderRenderer’ 做对应的修改即可。

```

1 mkdir -p deps
2 git clone --recursive https://github.com/google
  /swiftshader.git deps/swiftshader-src
3 cd deps/swiftshader-src && git checkout 91
  da6b00584afd7dcaed66da88e2b617429b3950
4 git submodule update
5 mkdir build && cd build && cmake .. && make -j
  16 libEGL libGLv2
6 cd ../../..
7 cp deps/swiftshader-src/build/libEGL* libEGL.so
  .1
8 cp deps/swiftshader-src/build/libGLv2*
  libGLv2.so.2

```

实验使用 PyAssimp 来加载网格。可以使用其他库来加载网格，替换 ‘render/swiftshader_renderer.py’ 绑定到其他库来加载网格。

```

1 mkdir -p deps
2 git clone https://github.com/assimp/assimp.git
  deps/assimp-src
3 cd deps/assimp-src
4 git checkout 2
  afeddd5cb63d14bc77b53740b38a54a97d94ee8
5 cmake CMakeLists.txt -G 'Unix Makefiles' &&
  make -j 16
6 cd port/PyAssimp && python setup.py install
7 cd ../../..
8 cp deps/assimp-src/lib/libassimp* .

```

实验使用 graph-tool 进行图形处理。

```

1 mkdir -p deps
2 git clone https://git.skewed.de/count0/graph-
  tool deps/graph-tool-src
3 cd deps/graph-tool-src && git checkout 178
  add3a571feb6666f4f119027705d95d2951ab
4 bash autogen.sh
5 ./configure --disable-cairo --disable-
  sparsehash --prefix=$HOME/.local
6 make -j 16
7 make install
8 cd ../../

```

4.2 数据准备

从数据集网站下载数据。

1. 原始网格: 我们需要 noXYZ 文件夹中的网格。下载 tar 文件并将它们放在 stanford_building_parser_dataset_raw 文件夹中。共需下载 area_1_noXYZ.tar、area_3_noXYZ.tar、area_5a_noXYZ.tar、area_5b_noXYZ.tar, 其中 area_6_noXYZ.tar 用于训练, area_4_noXYZ.tar 用于评估。

2. 用于设置任务的注释。我们将需要名为 Stanford3dDataset_v1.2.zip。将文件放在目录中 stanford_building_parser_dataset_raw。

预处理数据:

1. 使用 scripts/script_preprocess_meshes_S3DIS.sh 提取网格。

之后 data/stanford_building_parser_dataset/mesh 下应该有 6 个文件夹 area1, area3, area4, area5a, area5b, area6, 每个目录中都有纹理和 obj 文件。

2. 用 scripts/script_preprocess_annoations_S3DIS.sh 从 zip 文件中提取房间信息和语义。

在此之后 data/stanford_building_parser_dataset 下应该有 room-dimension 和 class-maps 文件夹。

下载 ImageNet 预训练模型: 我们使用 ResNet-v2-50 来训练图像。对于 RGB 图像, 已经在 ImageNet 上进行预训练的。对于深度图像, 我们使用成对的 RGB-D 图像将 RGB 模型提取为深度图像。两种类型都可以通过 scripts/script_download_init_models.sh 初始化。

4.3 模型训练

作者提供了图4中的预训练模型。我使用了 5 块 GTX 2080Ti GPU, 16 个线程来进行分布式训练。具体配置如图5所示。最后使用 scripts/script_test_pretrained_models.sh 来测试模型。

5 复现结果

以下图片展现了一些被构建地图的俯视图, 以及智能体为实现目标所采取的行动轨迹。

Config Name	Checkpoint	Mean Dist.	50%ile Dist.	75%ile Dist.	Success %age
cmp.lmap_Msc.clip5.sbpd_d_r2r	ckpt	4.79	0	1	78.9
cmp.lmap_Msc.clip5.sbpd_rgb_r2r	ckpt	7.74	0	14	62.4
cmp.lmap_Msc.clip5.sbpd_d_ST	ckpt	10.67	9	19	39.7
cmp.lmap_Msc.clip5.sbpd_rgb_ST	ckpt	11.27	10	19	35.6
cmp.lmap_Msc.clip5.sbpd_d_r2r_h0_64_80	ckpt	11.6	0	19	66.9
blv2.noclip.sbpd_d_r2r	ckpt	5.90	0	6	71.2
blv2.noclip.sbpd_rgb_r2r	ckpt	10.21	1	21	53.4
blv2.noclip.sbpd_d_ST	ckpt	13.29	14	23	28.0
blv2.noclip.sbpd_rgb_ST	ckpt	13.37	13	20	24.2
blv2.noclip.sbpd_d_r2r_h0_64_80	ckpt	15.30	0	29	57.9

图 4 预训练模型及其效果

```
(base) fangga@admin:~$ nvidia-smi
Sun Apr 24 12:42:23 2022
```

NVIDIA-SMI 460.32.03 Driver Version: 460.32.03 CUDA Version: 11.2									
GPU	Name	Persistence-M	Bus-Id	Disp.A	Volatile	Uncorr.	ECC		
Fan	Temp	Perf	Pwr:Usage/Cap	Memory-Usage	GPU-Util	Compute M.	MIG M.		
0	GeForce RTX 208...	Off	00000000:1B:00.0	Off				N/A	
42%	70C	P2	202W / 250W	10384MiB / 11019MiB	85%	E. Process		N/A	
1	GeForce RTX 208...	Off	00000000:3E:00.0	Off				N/A	
30%	52C	P2	83W / 250W	6980MiB / 11019MiB	13%	E. Process		N/A	
2	GeForce RTX 208...	Off	00000000:88:00.0	Off				N/A	
82%	76C	P2	247W / 250W	10384MiB / 11019MiB	83%	E. Process		N/A	
3	GeForce RTX 208...	Off	00000000:89:00.0	Off				N/A	
33%	57C	P2	70W / 250W	10128MiB / 11019MiB	9%	E. Process		N/A	
4	GeForce RTX 208...	Off	00000000:B1:00.0	Off				N/A	
29%	46C	P8	23W / 250W	0MiB / 7982MiB	0%	E. Process		N/A	

图 5 训练配置

在这过程中遇到了一些问题, 比如:

- 在拐角处卡住。这种特殊的错误很可能是由于在模拟器中处理网格缺失部分的方式或者用于确定障碍物与否的精确阈值。
- 建立的地图太小。我们根据目标的远近来初始化一个固定大小的地图。有可能在解决任务时, 需要绕道走出地图。所以从一个大的地图开始, 或者动态地调整地图的大小, 可能可以解决这个问题。
- 碰撞恢复。摄像机直视前方, 焦距为 90 度。这导致物体前方 1.25 米内的障碍物不可见, 从而导致碰撞。我们检测这种碰撞 (通过在连续步骤中使用目标矢量), 并实施恢复行为 (转身并向后走 1.25 米), 并重新扫描。

6 感受与体会

认知科学是对人类心智的多学科研究, 包括了哲学、心理学、神经科学、计算机科学、语言学、

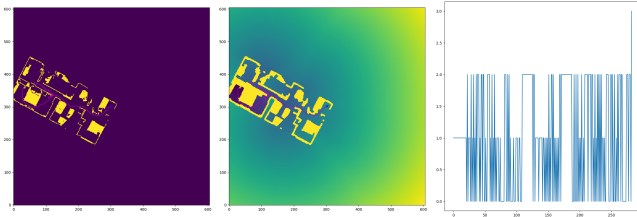


图 6 结果 1

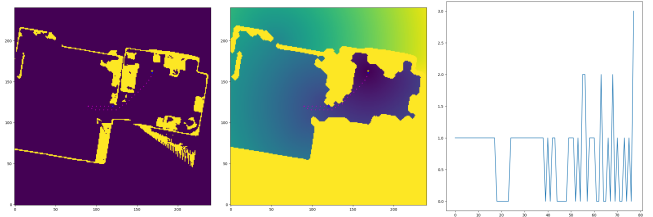


图 8 结果 3

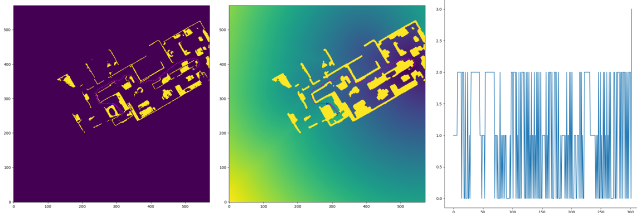


图 7 结果 2

微电子学、教育学等。认知科学只有大约 50 年的发展历史, 但已经取得了长足进步, 并且呈现出勃勃生机。距离理解人类心智的奥秘还有很长的路要走, 构建具备意识能力的认知科学系统具有美好的未来。

而人工智能 (AI) 就是在研究机器的认知。AI 的现实目标之一, 就是用计算机实现人类的智能。在研究认知现象的过程中, 计算机作为一种工具也被广泛使用。计算机模拟使用模仿的手段, 来研究人类的智能是如何构成的。

人工智能于一般教材中的定义领域是“智能主体 (intelligent agent) 的研究与设计”, 智能主体指一个可以观察周遭环境并作出行动以达致目标的系统。约翰·麦卡锡于 1955 年的定义是“制造智能机器的科学与工程”。安德烈亚斯·卡普兰 (Andreas Kaplan) 和迈克尔·海恩莱因 (Michael Haenlein) 将人工智能定义为“系统正确解释外部数据, 从这些数据中学习, 并利用这些知识通过灵活适应实现特定目标和任务的能力”。人工智能可以定义为模仿人类与人类思维相关的认知功能的机器或计算机, 如学习和解决问题。

在本次试验中, 我在实践中深刻体会到认知科学的魅力。通过构建机器人智能体的认知导航、认知规划和认知控制仿真, 即使该智能体还是时常“碰壁”、“迷路”, 但在算法的加持下, 它也在不断地修正、探索。

虽然当前的科研领域还未能制造出“真正”能推理和解决问题的智能机器, 并且, 这样的机器将

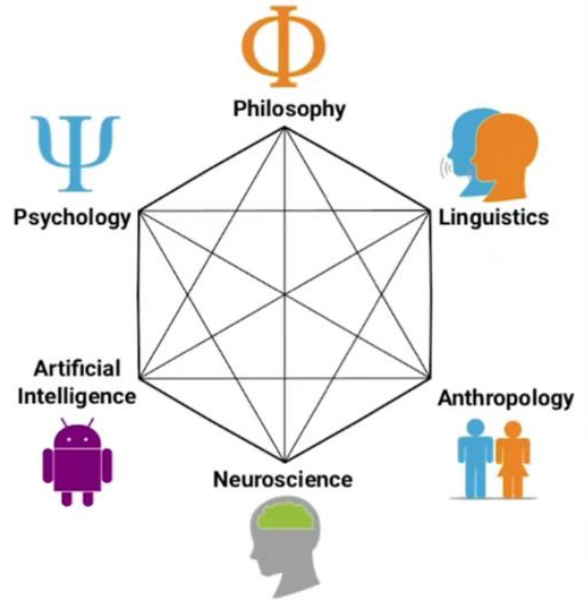


图 9 认知科学

被认为是具有知觉、有自我意识的。但就当下的人工智能研究领域来看, 研究者已大量造出“看起来”像是智能的机器, 获取相当丰硕的理论上和实质上的成果, 如 2009 年康乃尔大学教授 Hod Lipson 和其博士研究生 Michael Schmidt 研发出的 Eureka 计算机程序, 只要给予一些资料, 该计算机程序自己只用几十个小时计算就推论出牛顿花费多年研究才发现的牛顿力学公式, 等于只用几十个小时就自己重新发现牛顿力学公式, 该计算机程序也能用来研究很多其他领域的科学问题上。我相信在全球众多学者的努力下, 人工智能的研究将会更加深入, 未来仍充满希望。

参考文献

- [1] GUPTA S, TOLANI V, DAVIDSON J, et al. Cognitive mapping and planning for visual navigation[J]. International Journal of Computer Vision, 2017(4).
- [2] CHEN T, GUPTA S, GUPTA A. Learning exploration policies for navigation[J]. arXiv e-prints, 2019.